

مطالعه‌ی هیستوپاتولوژیک لایه‌ی فیروزی کیست هیداتیک در شتر، گاو و گوسفند

عباسعلی اسکندریان^۱، ولی یاراحمدی^۲، حسین یوسفی^۳، مژگان مختاری^{۴*}

مقاله پژوهشی

چکیده

مقدمه: کیست هیداتیک، اغلب توسط کرم *Echinococcus granulosus* ایجاد می‌شود. نزدیک‌ترین نسج میزان به کیست، لایه‌ی فیروز است. هدف از انجام این مطالعه، بررسی هر گونه اختلاف لایه‌ی فیروز در کبد و ریه‌ی شتر، گاو و گوسفند بود.

روش‌ها: برای هر یک از این سه حیوان، ۲۲ نمونه ریه یا کبد آلوه و در مجموع ۶۶ نمونه مناسب از کشتارگاه‌های اصفهان طی ماه‌های فوریه‌ی ۱۳۹۵ جمع‌آوری گردید. قطعه‌ی یک سانتی‌متر مریعی از لایه‌ی فیروز و همچنین از نسج سالم نزدیک کیست برداشته شد. در روند معمول تهیی مقطاع، مشاهده‌ی پاتولوژیک قرار گرفت. مقطاع توسط پاتولوژیست مشاهده و گزارش گردید.

یافته‌ها: در مجموع، ۱۳۸ مقطع مورد مطالعه‌ی پاتولوژیک قرار گرفت. اندازه‌ی قطر کیست‌ها بین ۰/۵-۶/۰ سانتی‌متر در شتر و گاو و ۰/۵-۲/۰ سانتی‌متر در گوسفند متغیر بود. بیشترین موارد کیست‌های استریل در گاوها دیده شد. لایه‌ی فیروز در تمام (۱۰۰ درصد) نمونه‌ی مورد مطالعه موجود بود. نکروز در ۲۰ مورد (۳۰/۳۰ درصد) شامل ۱۲ مورد در ریه‌ی شترها، ۶ مورد در ریه‌ی گاوها و تنها ۲ مورد که یکی در کبد گوسفندان مشاهده گردید. فقط یک مورد (۱/۵۲ درصد) گرانولوما در کبد گاو مشاهده شد.

نتیجه‌گیری: تفاوت‌هایی در لایه‌ی فیروزی کیست هیداتیک در شتر، گاو و گوسفند مشاهده شد. میزان پیشرفت ضایعه به سمت ایجاد نکروز و گرانولوما در سه نوع حیوان و همچنین، فراوانی این ضایعات دارای اختلاف معنی‌داری بود که ممکن است به علت تفاوت در سویه‌ی انگل، نوع میزان و همچنین میانگین سنی این حیوانات باشد.

واژگان کلیدی: هیستوپاتولوژی، فیروز، نکروز، کیست هیداتیک، شتر، گاو، گوسفند

ارجاع: اسکندریان عباسعلی، یاراحمدی ولی، یوسفی حسین، مختاری مژگان. **مطالعه‌ی هیستوپاتولوژیک لایه‌ی فیروزی کیست هیداتیک در شتر، گاو و گوسفند.** مجله دانشکده پزشکی اصفهان ۱۳۹۵؛ ۳۴(۴۰۴): ۱۲۶۷-۱۲۶۲.

مقدمه

مرحله‌ی لاروی تعدادی از گونه‌های جنس اکنوكوکوس و اغلب *Echinococcus granulosus* به خصوص در زمینه‌ی ساختار هیستوپاتولوژیک و تشکیل کیست هیداتیک برانگیخته است (۱-۳). دیواره‌ی کیست، از مرکز به سمت بیرون کیست شامل دو لایه است، یکی لایه‌ی زایا که پروتواسکولکس‌ها را به وجود می‌آورد و دیگری لایه‌ی بیرونی که لایه‌ی مطبق نامیده می‌شود.

کپسول فیروزی از منشاً میزان وزیکول پیش‌گفته را احاطه می‌کند و منجر به تشکیل کیست هیداتیک کامل اغلب در کبد و ریه و سپس در سایر اندام‌های بدن می‌شود (شکل ۱) (۴).

این عفونت، معضلی در تاریخ پزشکی و دامپزشکی بوده و تا کنون خسارت‌های سنگین بیولوژیکی و اقتصادی به بار آورده است (۴-۳). عواقب مضر و خطرناک، عدم وجود درمان دارویی بی‌خطر و

۱- دانشیار، گروه انگل‌شناسی و قارچ‌شناسی، دانشکده پزشکی، دانشگاه علوم پزشکی اصفهان، اصفهان، ایران

۲- دانشجوی کارشناسی ارشد، گروه انگل‌شناسی و قارچ‌شناسی، دانشکده پزشکی، دانشگاه علوم پزشکی اصفهان، اصفهان، ایران

۳- استاد، گروه انگل‌شناسی و قارچ‌شناسی، دانشکده پزشکی، دانشگاه علوم پزشکی اصفهان، اصفهان، ایران

۴- استاد، گروه آسیب‌شناسی، دانشکده پزشکی، دانشگاه علوم پزشکی اصفهان، اصفهان، ایران

نویسنده‌ی مسؤول: عباسعلی اسکندریان

Email: aeskandarian@med.mui.ac.ir

آماده‌ی مشاهده‌ی میکروسکوپی شدند. تمام مقاطع توسط همکار پاتولوژیست مشاهده و گزارش گردید.

یافته‌ها

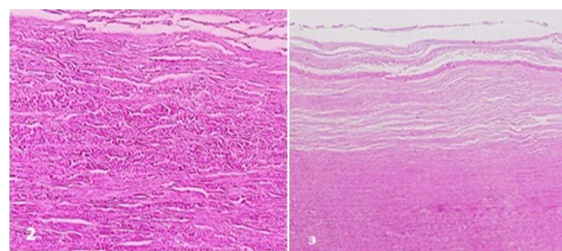
در مجموع، بیش از ۸۰ ریه و یا کبد آلوده از سه نوع حیوان جمع‌آوری و از بین آن‌ها ۶۶ عدد (۲۲ عدد برای هر نوع حیوان) انتخاب گردید. دامنه‌ی اندازه‌ی قطر کیست‌ها در شتر و گاو بین ۰/۵-۶ سانتی‌متر و برای گوسفند بین ۰/۵-۲ سانتی‌متر متفاوت بود. بیشترین تعداد کیست‌های استریل در گاوهای دیده شد. میانگین سنی برای شترها، گاوهای گوسفندان به ترتیب ۹، ۶ و ۳ سال بود.

در کل، ۱۳۸ مقطع شامل لایه‌ی فیروز و بافت طبیعی اطراف

کیست از ۶۶ نمونه آماده شد و از نظر هیستوپاتولوژی مشاهده، عکس‌برداری و گزارش گردید.

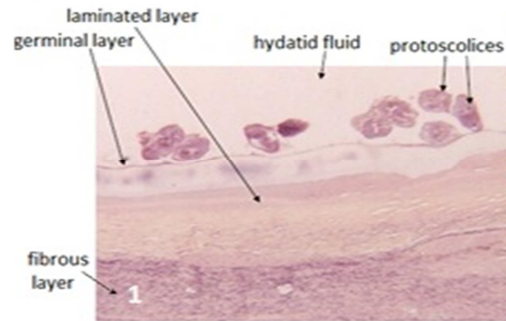
ضایعات در سه گروه فیروز، نکروز و گرانولوما دسته‌بندی شدند. بین لایه‌ی فیروزی بخشی از کیست که بیرون از نسج میزان است با بخشی از آن که در داخل نسج میزان قرار گرفته است، اختلاف معنی‌داری مشاهده نشد. اگر چه ضخامت این لایه در مقاطع مختلف با هم متفاوت بود (شکل‌های ۲ و ۳).

در مقاطع کبد، ضخیم شدن زیاد مجرای صفراؤی، پرولیفراسیون اپتیلیوم، هیپرپلازی مخاط و ارتashان لنفوسيت‌ها و ائوزینوفیل‌ها مشاهده شد. لوب‌های کبد متورم و هپاتوسیت‌ها به طور طبیعی آرایش یافته بود که به همراه هسته‌های پیکنوتیک و فضاهای بزرگ Disse در زیر میکروسکوپ مشاهده می‌شد. مرحله‌ی تخریب کیست که اغلب با تشکیل بافت گرانولر در فضای کیستی همراه است، مشاهده گردید (شکل‌های ۴-۷).



شکل‌های ۲-۳. بخش داخل نسجی و بخش خارجی نسجی یک کیست واحد که اختلاف معنی‌دار ریز ساختاری نشان نداد.

تمام مقاطع ریه، واکنش فیروز نسجی (کپسول) و واکنش سلولی، نکروز و انسداد مجرای ریوی نزدیک کیست را نشان داد (شکل‌های ۸-۱۰). ارتashان سلولی به درجات مختلف شدید، متوسط، متشر یا مجتمع دیده شد. بعضی مقاطع متمایل به تشکیل گرانولوما بودند و به همراه سلول‌های غول‌آسا دیده شدند.



شکل ۱. شکل طبیعی کیست هیداتیک و لایه‌های آن از داخل به خارج به ترتیب لایه‌ی زایا و لایه‌ی مطبق از منشأ انگل لایه‌ی پیرا کیست یا کپسول فیروزی از منشأ میزان میزان.

مطالعاتی که تغییرات هیستوپاتولوژیک کیست را در میزان مختلف بررسی کردند، در متابع علمی وجود دارد (۸-۹). نتایج این مطالعات، بر واکنش متقابل انگل و میزان طی روند تشکیل کیست هیداتیک دلالت دارد (۱۰-۱۲)، اما با این همه، در زمینه‌ی مطالعه‌ی مقایسه‌ای لایه‌ی فیروزه با منشأ میزان در بین میزان مختلف خلاً مطالعاتی وجود دارد.

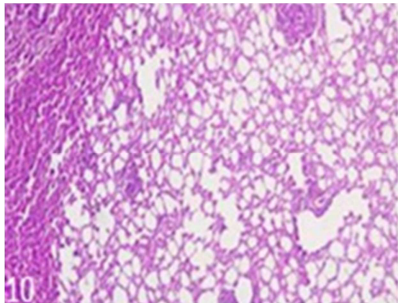
هدف از انجام این مطالعه، بررسی اختلافات احتمالی لایه‌ی فیروزی در قسمت بیرون از نسج و قسمت داخل نسج یک کیست واحد، در کیست‌های کبد و ریه و همچنین، در میزان مختلف شتر، گاو و گوسفند با استفاده از روش‌های هیستوپاتولوژیک بود.

روش‌ها

پس از مشاهده‌ی لاشه‌ها در کشتارگاه‌های اصفهان، تنها کبد و ریه‌های آلوده به کیست هیداتیک جمع‌آوری گردید. ضمن تأیید وجود کیست هیداتیک به روشهای انگل‌شناختی و مولکولی، نمونه‌گیری تا رسیدن به تعداد ۲۲ نمونه مناسب برای هر نوع حیوان از فروردین تا تیرماه ۱۳۹۵ ادامه یافت. نمونه‌ها به آزمایشگاه منتقل و مایع درون کیست‌ها کشیده شد تا ضمن محاسبه‌ی حجم مایع کیست، باروری یا استریل بودن کیست‌ها تعیین گردد. با خالی شدن مایع کیست، بقایای آن نیز از محل خود خارج گردید. سپس، قطعه‌ای با ابعاد حدود ۱ سانتی‌متر مربع و ضخامت ۰/۵ سانتی‌متر از لایه‌ی فیروزی و همچنین، نسج سالم نزدیک کیست برداشته شد. نمونه‌ها وارد روند معمول آماده‌سازی مقاطع پاتولوژی شدند (۹).

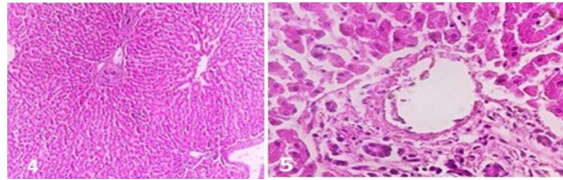
به طور خلاصه، نمونه‌های یافته در قالب‌های پارافینی گذاشته شد. بلوك‌های پارافینی تهیه و توسط دستگاه میکروتوم، مقاطعی به ضخامت ۵ میکرون تهیه و پس از طی مراحل آب‌گیری با استفاده از اتانول با غاظت‌های افزایشی با رنگ هماتوکسیلین-ائوزین رنگ‌آمیزی و با استفاده از اتانول با غاظت‌های کاهشی آب‌دهی و

در مقاطع ریهی شتر، واکنش فیروز نسجی ملایم‌تر و واکنش‌های سلولی در حداقل مقدار بود.

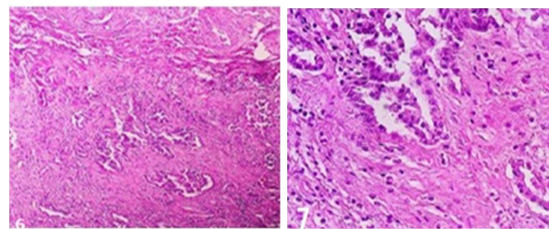


شکل ۱۰. مقطع ریهی طبیعی شتر.

در مجموع، فیروز تنها، نکروز و گرانولوما به ترتیب در ۴۵ مورد (۶۷/۲۰ درصد)، ۲۰ مورد (۳۰/۳۰ درصد) و ۱ مورد (۱/۵۲ درصد) از نمونه‌ها دیده شد. بیشترین موارد نکروز (۱۲ مورد یا ۴۵/۵۵ درصد) در شتر دیده شد. گاوها با ۶ مورد (۲۷/۳۳ درصد) در رتبه‌ی دوم و گوسفندان با ۲ مورد (۹/۱ درصد) در حداقل مقدار قرار گرفتند. فقط ۱ مورد گرانولوما (۱/۵۲ درصد) مشاهده گردید که در گاو اتفاق افتاده بود (جدول ۱).

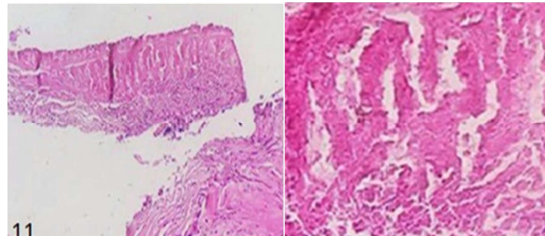


شکل‌های ۴-۵. بافت کبد طبیعی $\times 100$ و $\times 400$ که هپاتوسيت‌ها به همراه تریاد پورت بدون هر گونه علامت آسيب‌شناختی را در مقایسه با شکل‌های ۲-۳ (نشان دهنده‌ی التهاب، ارت翔 سلولی و تخریب) نشان می‌دهد.

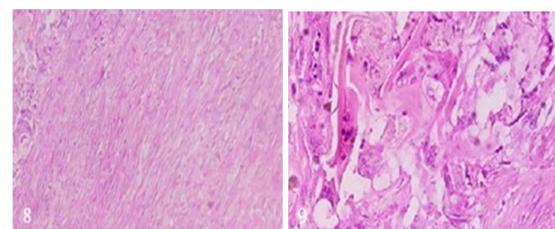


شکل‌های ۶-۷. مقاطع کبد درشت به ترتیب $\times 100$ و $\times 400$ که فیروز با باندهای پهن کلائز را نشان می‌دهد.

نوع سلول‌های التهابی ارت翔 یافته، در اصل سلول‌های تک هسته‌ای، ماکروفازها، لنفوسيت‌ها و پلاسموسیل‌ها بود (شکل‌های ۱۱ و ۱۲).



شکل‌های ۱۱-۱۲. نکروز در مقطع ریهی شتر با بزرگنمایی به ترتیب $\times 100$ و $\times 400$ ذرات هسته‌ای و رسوبات دانه‌ای قابل توجه است. تمام مقاطع با هماتوكسیلین- انوزین رنگ شده‌اند.



شکل‌های ۸-۹. مقاطع کبد گاوها $\times 100$ و $\times 400$ که نشان دهنده‌ی گرانولوما با سلول‌های غولآسای چند هسته‌ای، هیستوسيت‌ها و لنفوسيت‌ها است.

جدول ۱. توزیع فراوانی فیروز، نکروز و گرانولوما در ۶۶ نمونه از کبد و یا ریهی آلدود به کیست هیداتیک در شتر، گاو و گوسفند

نوع آسيب					عضو	حيوان
جمع	فیروز	نکروز	گرانولوما	تعداد (درصد)		
تعداد (درصد)	تعداد (درصد)	تعداد (درصد)	تعداد (درصد)			
۵ (۲۲/۷۳)	۵ (۲۲/۷۳)	۰ (۰)	۰ (۰)	۰ (۰)	کبد	شتر
۱۷ (۷۷/۳۰)	۵ (۲۲/۷۳)	۱۲ (۵۵/۵۴)	۰ (۰)	۰ (۰)	ریه	
۵ (۲۲/۷۳)	۴ (۱۸/۲۰)	۰ (۰)	۱ (۴/۵۵)	۱ (۴/۵۵)	کبد	گاو
۱۷ (۷۷/۳۰)	۱۱ (۵۰/۰۰)	۶ (۲۷/۳۰)	۰ (۰)	۰ (۰)	ریه	
۱۰ (۴۵/۵۰)	۹ (۸۱/۸۰)	۱ (۴/۵۵)	۰ (۰)	۰ (۰)	کبد	گوسفند
۱۲ (۵۵/۵۴)	۱۱ (۵۰/۰۰)	۱ (۴/۵۵)	۰ (۰)	۰ (۰)	ریه	
۶۶ (۱۰۰)	۴۵ (۶۸/۲۰)	۲۰ (۳۰/۳۰)	۱ (۴/۵۵)			جمع

ابتلای ریه‌ها به کیست هیداتیک نسبت به کبد بیشتر بود (۱۹-۲۰، ۱۴-۱۵، ۱۲، ۷-۸).

در این مطالعه، در مجموع، میزان عفونت ریه‌ها (۶۹/۷ درصد) بیشتر از کبد (۳۰/۳) بود. این نسبت، در شتر و گاو ۷۷/۳ درصد و بیشتر از گوسفند (۴۵/۵۵) بود. این اختلاف، ممکن است به علت میانگین سنی بالاتر شتر و گاو نسبت به گوسفند و یا بزرگ‌تر بودن توده‌ی بدنه‌ی شتر و گاو باشد. دلیل دیگر این اختلاف، ممکن است شرایط مختلف جغرافیایی مناطق گوناگون باشد. در این مطالعه و دیگر مطالعات انجام شده در ایران، بیشترین میزان استریلیتی را در گاو گزارش کرده‌اند. این میزان بین ۳۰-۷۰ درصد گزارش شده است (۱۲، ۱۹-۲۰).

نتیجه‌گیری نهایی این که تفاوت‌هایی در لایه‌ی فیروزی کیست هیداتیک در شتر، گاو و گوسفند مشاهده شد. میزان پیشرفت ضایعه به سمت ایجاد نکروز و گرانولوما در سه نوع حیوان و همچنین، فراوانی این ضایعات دارای اختلاف معنی‌داری بود که ممکن است به علت تفاوت در سویه‌ی انگل، نوع میزان و همچنین میانگین سنی این حیوانات باشد.

مطالعات روش‌های اختصاصی مانند هیستوژنیکی و ایمونوپاتولوژیک در مطالعات آینده پیشنهاد می‌گردد.

تشکر و قدردانی

این مقاله، حاصل قسمتی از پایان‌نامه‌ی کارشناسی ارشد انگل‌شناسی به شماره‌ی ۳۹۴۳۴۵ مورخ ۱۳۹۴/۲/۲ مصوب در دانشکده‌ی پزشکی دانشگاه علوم پزشکی اصفهان است. نویسنده‌گان از معاونت پژوهشی این دانشگاه به جهت تأمین منابع مالی و سایر حمایت‌ها و نیز از تمام افراد و واحدهایی که مساعدت نمودند، سپاسگزاری می‌نمایند.

References

1. McManus DP, Zhang W, Li J, Bartley PB. Echinococcosis. Lancet 2003; 362(9392): 1295-304.
2. Moro P, Schantz PM. Echinococcosis: a review. Int J Infect Dis 2009; 13(2): 125-33.
3. Eckert J, Gemmell MA, Francois-Xavier. WHO/OIE manual on echinococcosis in humans and animals: a public health problem of global concern. Paris, France: World Organization for Animal Health; 2001.
4. Budke CM, Deplazes P, Torgerson PR. Global socioeconomic impact of cystic echinococcosis. Emerg Infect Dis 2006; 12(2): 296-303.
5. Brunetti E, Kern P, Vuittou DA. Expert consensus for the diagnosis and treatment of cystic and alveolar echinococcosis in humans. Acta Trop 2010; 114(1): 1-16.
6. Junghanss T, da Silva AM, Horton J, Chiodini PL, Brunetti E. Clinical management of cystic

بحث

نسوج نزدیک به کیست هیداتیک، ممکن است تغییراتی را بسته به محل استقرار کیست، سن میزان و کیست، نوع انگل و میزان و عوامل احتمالی دیگر نشان دهد (۱۵-۱۳). علخواران نقش مهمی را به عنوان میزان واسطه برای هیداتیدوز ایفا می‌کنند و تأثیر قابل ملاحظه‌ای در وضعیت سلامت انسان دارند. از این رو، در مطالعه‌ی حاضر لایه‌ی فیروزی کیست هیداتیک در سه حیوان شتر، گاو و گوسفند به طور مقایسه‌ای با استفاده از تکنیک‌های هیستوپاتولوژیک مورد مطالعه قرار گرفت. اغلب، قسمتی از یک کیست هیداتیک تک حفره‌ای در داخل نسج میزان و قسمتی از آن، خارج از نسج میزان قرار می‌گیرد که فقط دارای کپسول فیروزی از منشأ میزان می‌باشد (۱۸-۱۶).

مواردی از روندهای مخبری که لایه‌ی فیروزه را تبدیل به نکروز می‌کند، در ۳۰/۳ درصد نمونه‌ها مشاهده گردید. بیشترین تعداد موارد نکروز در شتر (۵۴/۵۴ درصد) بود و گاو در رتبه‌ی دوم (۲۷/۳ درصد) قرار داشت. در گوسفند (۹/۱ درصد) کمترین تعداد نکروز دیده شد. احتمال می‌رود اختلاف فراوانی نکروز در سه نوع حیوان در ارتباط با سن میزان باشد؛ به طوری که میانگین سنی این حیوانات در مطالعه‌ی حاضر، ۹ سال برای شتر، ۶ سال برای گاو و کمتر از ۳ سال برای گوسفند بود. این خود گویای زمان بر بودن تشکیل نکروز می‌باشد. فقط ۱ مورد (۱/۵۲) گرانولوما در ضایعات کیست هیداتیک در کبد گاو مشاهده گردید. اگرچه این مورد جالبی بود و باعث مشاهده‌ی هر سه نوع ضایعه در لایه‌ی نزدیک کیست هیداتیک از منشأ میزان گردید، اما به دلیل تعداد کم آن، نمی‌توان نتیجه‌ی اپیدمیولوژیکی برای آن در نظر گرفت.

در بسیاری از مطالعات و از جمله مطالعه‌ی حاضر، میزان

echinococcosis: state of the art, problems, and perspectives. Am J Trop Med Hyg 2008; 79(3): 301-11.

7. Lewall DB. Hydatid disease: biology, pathology, imaging and classification. Clin Radiol 1998; 53(12): 863-74.
8. Siracusano A, Margutti P, Delunardo F, Profumo E, Rigano R, Buttari B, et al. Molecular cross-talk in host-parasite relationships: the intriguing immunomodulatory role of *Echinococcus* antigen B in cystic echinococcosis. Int J Parasitol 2008; 38(12): 1371-6.
9. Ahmedullah F, Akbor M, Haider MG, Hossain MM, Khan M, HossainMI, et al. Pathological investigation of liver of the slaughtered buffaloes in Barisal district. Bangl J Vet Med 2007; 5(1-2): 81-5.
10. Zhang W, Li J, McManus DP. Concepts in

- immunology and diagnosis of hydatid disease. *Clin Microbiol Rev* 2003; 16(1): 18-36.
11. Ibrahim MM. Study of cystic echinococcosis in slaughtered animals in Al Baha region, Saudi Arabia: interaction between some biotic and abiotic factors. *Acta Trop* 2010; 113(1): 26-33.
 12. Eskandarian AA. Scolicidal effects of squash (*Corylus spp*) seeds, hazel (*Curcurbia spp*) nut and garlic (*Allium sativum*) extracts on hydatid cyst protoscolices. *J Res Med Sci* 2012; 17(11): 1011-4.
 13. Rogan MT, Hai WY, Richardson R, Zeyhle E, Craig PS. Hydatid cysts: does every picture tell a story? *Trends Parasitol* 2006; 22(9): 431-8.
 14. Siracusano A, Delunardo F, Teggi A, Ortona E. Host-parasite relationship in cystic echinococcosis: an evolving story. *Clin Dev Immunol* 2012; 2012: 639362.
 15. Polat P, Kantarci M, Alper F, Suma S, Koruyucu MB, Okur A. Hydatid disease from head to toe. *Radiographics* 2003; 23(2): 475-94.
 16. Attallah AM, Ismail H, Ibrahim AS, Al-Zawawy LA, El-Ebary MT, El-Waseef AM. Immunochemical identification and detection of a 36-kDa *Toxoplasma gondii* circulating antigen in sera of infected women for laboratory diagnosis of toxoplasmosis. *J Immunoassay Immunochem* 2006; 27(1): 45-60.
 17. Ibrahim SEA. Pathological, histochemical and immunohistochemical studies of lungs and livers of cattle and sheep infected with hydatid disease. Proceedings of the 5th Annual Conference-Agricultural and Veterinary Research; 2014 Feb 24-27; Khartoum, Sudan.
 18. Morseth DJ. Fine Structure of the hydatid cyst and protoscolex of *Echinococcus granulosus*. *J Parasitol* 1967; 53(2): 312-25.
 19. Daryani A, Sharif M, Amouei A, Nasrolahei M. Fertility and viability rates of hydatid cysts in slaughtered animals in the Mazandaran Province, Northern Iran. *Trop Anim Health Prod* 2009; 41(8): 1701-5.
 20. Adinehbeigi K, Radfar MH, Rahmani K. The role of cattle in the epidemiology of *Echinococcus granulosus* in Kerman area, southeast of Iran. *Comp Clin Path* 2013; 22(2): 233-8.

Histopathological Study on Fibrous Layer of Hydatid Cyst in Camel, Cattle and Sheep

Abbasali Eskandarian¹, Vali Yarahmadi², Hossein Yousofi³, Mojgan Mokhtari⁴

Original Article

Abstract

Background: Hydatid cyst almost is caused by *Echinococcus granulosus*. Due to probable differences in fibrous layer of cyst, our main objectives were to investigate any difference of fibrous layer of hydatid cyst in camel, cattle and sheep, using histopathological methods.

Methods: For each kind of animal, 22 samples including hydatid-cyst-infected livers and/or lungs were collected from Isfahan City abattoirs (Iran) during April to June 2016. A specimen of about 1 cm² of fibrous layer was taken, and underwent usual pathologic processing and analyzing.

Findings: Overall, 138 pathological sections were examined. The diameter size range of the cysts was 1.5-6.0 cm in camel and cattle and 0.5-2.0 cm in sheep. Cattle have maximum sterile cyst. The average age was 9, 6 and 3 years for camels, cows and sheep, respectively. The fibrous capsule presented in all 66 studied animals (100%). The necrosis was seen in 20 animals (30.3%), 12 cases in camels' lung, 6 cases in cattle's lung and only 2 cases in sheep (1 case in lung and 1 case in liver). There was only one 1case of granuloma (1.52%) in cattle's liver.

Conclusion: There were some differences in fibrous layer of hydatid cyst in camel, cattle and sheep. The severity of pathologic changes led to necrosis and granuloma were different in these animals and the relative frequencies as well. It may be due to hosts' types, parasites' strains and average age of host. More investigation is required.

Keywords: Histopathology, Fibrous, Hydatid cyst, Camel, Cattle, Sheep

Citation: Eskandarian A, Yarahmadi V, Yousofi H, Mokhtari M. **Histopathological Study on Fibrous Layer of Hydatid Cyst in Camel, Cattle and Sheep.** J Isfahan Med Sch 2016; 34(404): 1262-7.

1- Associate Professor, Department of Parasitology and Mycology, School of Medicine, Isfahan University of Medical Sciences, Isfahan, Iran

2- MSc Student, Department of Parasitology and Mycology, School of Medicine, Isfahan University of Medical Sciences, Isfahan, Iran

3- Professor, Department of Parasitology and Mycology, School of Medicine, Isfahan University of Medical Sciences, Isfahan, Iran

4- Professor, Department of Pathology, School of Medicine, Isfahan University of Medical Sciences, Isfahan, Iran

Corresponding Author: Abbasali Eskandarian, Email: aeskandarian@med.mui.ac.ir